# ВЗАИМОДЕЙСТВИЕ ВОЗДУШНЫХ ПОТОКОВ С ОРОГРАФИЧЕСКОЙ НЕОДНОРОДНОСТЬЮ В ВИДЕ ЛОКАЛЬНОГО ПОНИЖЕНИЯ РЕЛЬЕФА

# А.А. Спивак, В.М. Хазинс

Обсуждаются результаты численного моделирования аэродинамического режима воздушных потоков в приповерхностной зоне атмосферы Земли при наличии орографической неоднородности. Показано, что при определенных условиях в воздушном потоке формируются вихревые структуры, характер которых варьируется со временем. Приведены пространственные распределения как самих вихревых структур, так и концентрации возмущенных пылевых потоков. Результаты работы могут служить основой для оценки аэроэлектрических, электродного и других геофизических эффектов в приповерхностной атмосфере, а также при описании газодинамических процессов, сопровождающих вентиляцию карьеров при добыче полезных ископаемых открытым способом, в частности, с использованием взрывной технологии.

#### Введение

Значительный интерес к геофизическим эффектам в приповерхностной зоне Земли связан в первую очередь с необходимостью постоянного геоэкологического контроля среды обитания человека. Другой задачей является определение причин

и механизмов преобразования и взаимодействия геофизических полей разной природы, что важно, во-первых, при установлении закономерностей взаимодействия геосфер на границе литосферы и атмосферы, а во-вторых, при формулировке граничных условий, определяющих высотные профили геофизических полей. Особый интерес вызывают исследования электрического поля Земли, величина и вариация которых в значительной мере определяют жизнедеятельность живых организмов, работу электронных и высокоточных технических устройств, а также условия эксплуатации коммуникационных систем.

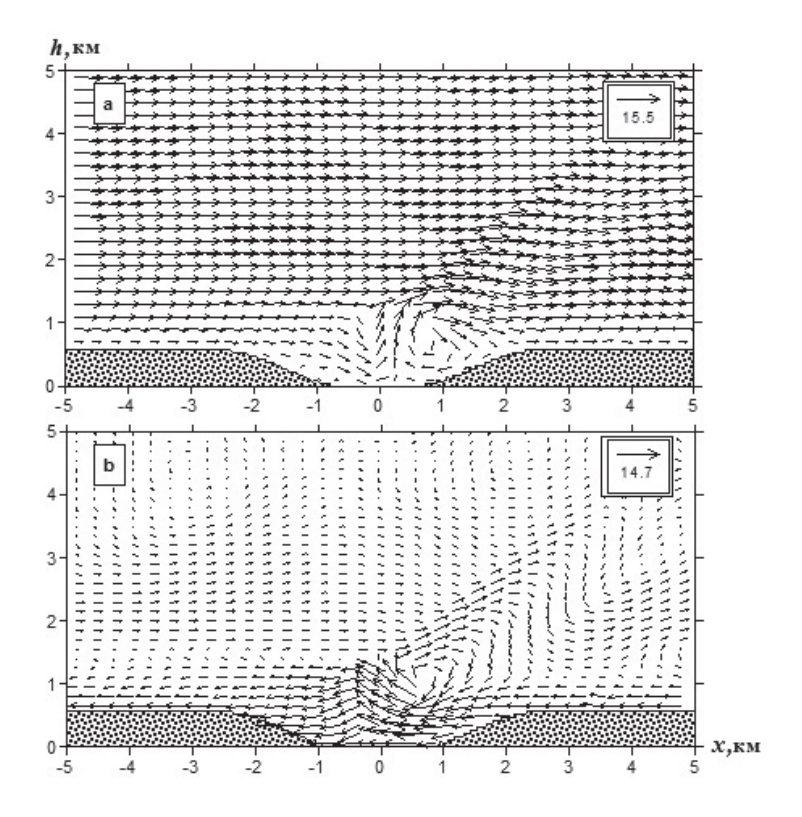
Наряду с космическими факторами и глобальными геофизическими процессами, например, глобальной грозовой активностью, на локальное электрическое поле в приземной атмосфере оказывают существенное влияние аэроионы и аэрозольные частицы, метеоусловия, нестационарные потоки воздушных масс, атмосферные фронты и т.д. В частности, вариации электрического поля Земли в зоне обмена (высоты до  $\sim$ 1 км) могут возникать в результате обтекания воздушными потоками орографических неоднородностей, что приводит к образованию в них вихревых структур [Адушкин и Спивак, 2014; Локтев и Спивак, 2015].

В настоящей работе рассматриваются результаты численного моделирования, описывающие аэродинамический режим воздушного потока, в том числе, содержащие пылевые частицы вблизи границы литосфера—атмосфера при наличии орогенической неоднородности в виде локального понижения рельефа. Безусловно, в природе подобных неоднородностей неисчислимое множество. Поэтому при выборе размеров неоднородности мы ориентировались в первую очередь на структурные характеристики рельефа, который формируется в процессе открытой разработки месторождений полезных ископаемых. Например, для карьеров железнорудной промышленности, для которых проблемы, связанные с геофизическими полями, актуальны, глубина карьеров достигает 200—600 м, ширина — 3—5 км.

# Модель взаимодействия воздушного потока с неоднородностью рельефа

Рассмотрим задачу определения параметров воздушного потока при обтекании орографической неоднородности. Будем считать, что неоднородность земного рельефа представляет собой каньон, протяженность которого столь велика, что возмущения с краев каньона не достигают какого-либо заранее выбранного поперечного сечения за все время расчета. Полагаем, что однородный воздушный поток направлен вдоль земной поверхности перпендикулярно оси каньона. Задачу будем решать в двумерном приближении. Развитие течения в стратифицированной атмосфере исследовано путем численного решения уравнений Навье-Стокса для гипозвуковых течений с турбулентной вязкостью, моделируемой методом крупных вихрей [Хазинс, 2010]. Ранее с помощью этой методики был исследован ряд близких по постановке задач в условиях выпуклого рельефа [Хазинс и Шувалов, 2011; Хазинс, 2012]. Пыль будем рассматривать как пассивную примесь, а ее перераспределение в пространстве рассчитывать с помощью уравнения переноса при постоянном числе Шмидта. Для определенности сечение каньона представим в виде перевернутой трапеции, верхняя сторона которой ~5 км, высота 600 м. При численных расчетах длина нижней стороны трапеции варьировалась от 1 км (пологие борта) до 3 км (крутые борта).

Ограничимся случаем ветра умеренной интенсивности (10 м/с). На рис. 1 представлен характер течения в один из моментов времени в области, включающей в



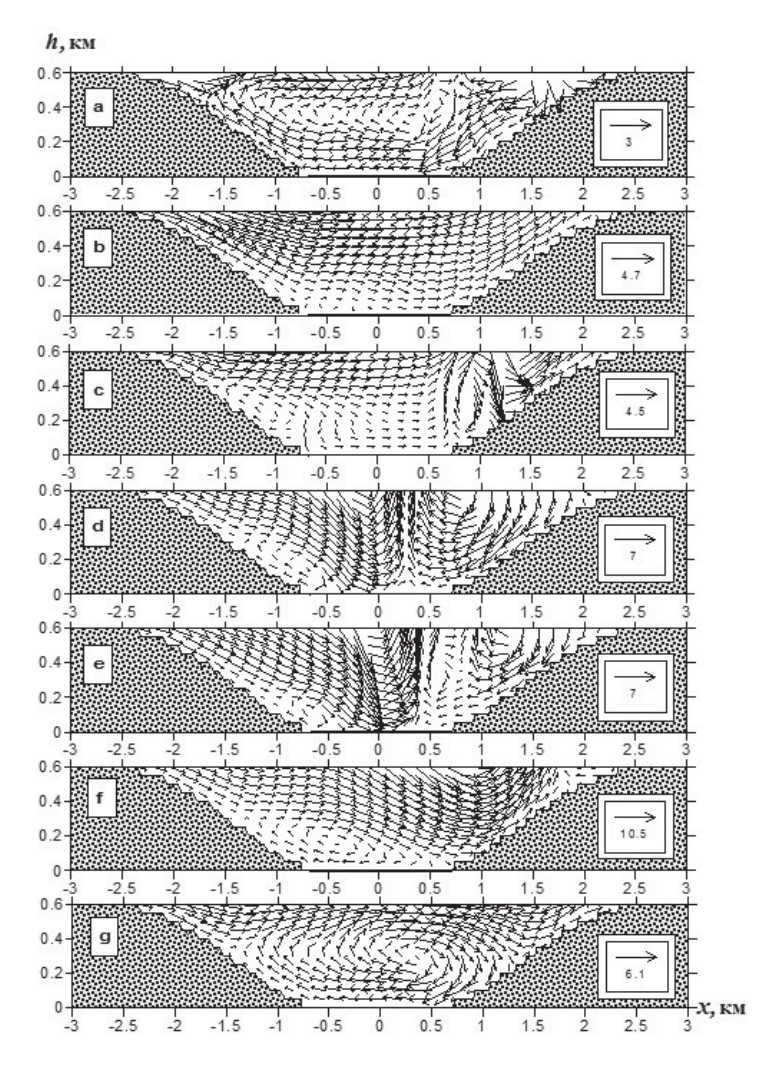
**Рис. 1.** Поле скоростей в воздушном потоке через 2,5 часа после начала взаимодействия ветра с орографической неоднородностью (длина стрелки соответствует указанному значению скорости в м/с).

а – в неподвижной системе координат; b – в системе координат, связанной с ветром

себя сам каньон с пологими бортами и прилегающую к нему часть атмосферы. Отметим, что численное моделирование выполнено в области, размеры которой достигают десятка километров в вертикальном направлении и несколько десятков километров в горизонтальном, что позволяет избежать влияния граничных условий. Существенное превышение горизонтальной составляющей скорости потока над вертикальной в большей части области течения не позволяет выявить детали процесса. По этой причине поле скорости в один и тот же момент времени представлено на рис. 1 как в неподвижной системе координат (рис. 1, а), так и в системе координат, связанной с ветром (рис. 1, b) В последнем случае из горизонтальной составляющей вектора скорости вычтена величина, равная скорости ветра. Из рис. 1 видно, что в результате взаимодействия потока с границами каньона внутри него формируется вихревое течение, которое в рассматриваемый момент времени способно выносить воздух из каньона вверх, где он подхватывается ветровым потоком. Отметим, что на горизонтальных участках поверхности Земли и на бортах каньона реализуется так называемое условие прилипания (вертикальная и горизонтальные составляющие скорости на этих границах равны нулю), имитирующие торможение потока у поверхности Земли. Следствием этого торможения является формирование приземного пограничного слоя, толщина которого определяется высотой, на которой горизонтальная скорость достигает скорости набегающего потока. Видно (рис. 1, b), что при выбранном шаге численного интегрирования вблизи левой границы представленного фрагмента течения (то есть в набегающем потоке), высота погранслоя над поверхностью (область, где скорости достигают скорости набегающего потока, или обращаются в нуль в системе координат, связанной с ветром) достигает 1 км, что удовлетворительно согласуется с представлениями о толщине погранслоя.

### Динамика течения внутри орографической неоднородности

Ограничимся рассмотрением характеристик течения, развивающегося внутри каньона. На рис. 2 приведены поля скорости для случая каньона с пологими бортами в период с 1 до 4 часов после начала взаимодействия ветра с полостью. Из

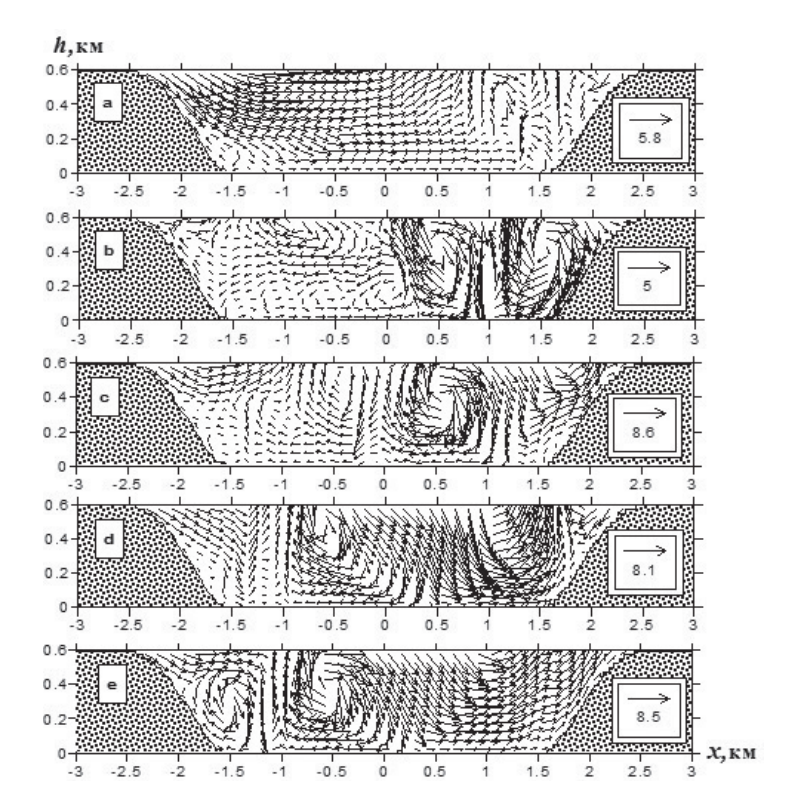


**Рис. 2.** Вихревой поток в каньоне с пологими бортами. Панели a, b, c, d, e, f и g соответствуют моментам времени 1; 1,5; 2; 2,5; 3; 3,5 и 4 часа

рис. 2 видно, что примерно через 1 час после начала расчета в каньоне образовался вихрь, заполняющий все пространство каньона (рис. 2, а), который разрушается примерно через полчаса и поток втекает и вытекает без внутренних завихрений (рис. 2, b). Еще через полчаса формируется новый вихрь у правого борта (рис. 2, с), который расширяется внутрь каньона с образованием вертикальной струи примерно в его середине (рис. 2, d, е). Следующий фрагмент (рис. 2, f) качественно схож с рис. 2, b, а рис. 2, g с рис. 2, а. Вполне возможно, что вихревые структуры в последующем будут повторять друг друга или образовывать новые, что демонстрирует отсутствие выхода течения на стационар.

Наблюдающиеся на рис. 2 ступеньки на бортах каньона связаны с описанием гладкой линии на прямоугольной сетке. Их размеры зависят от выбора пространственного шага интегрирования уравнений, который в рассматриваемом случае в обоих направлениях составляет 50 м. В каком-то смысле эти ступеньки имитируют горизонтальные слои — уступы, создаваемые в реальных карьерах для движения техники. Для сравнения был проведен аналогичный расчет с шагом 25 м, который не выявил существенных отличий в описании течения.

На рис. 3 отображен характер течения внутри каньона для случая крутых бортов (верхний размер каньона составляет 5, нижний -3 км). Шаг интегрирования -25 м. Видно, что развивающееся течение характеризуется распространением внутри каньона вихрей, которые, ввиду увеличившегося пространства каньона, имеют хорошо выраженный вид. Через час от начала расчета вблизи правого борта каньо-



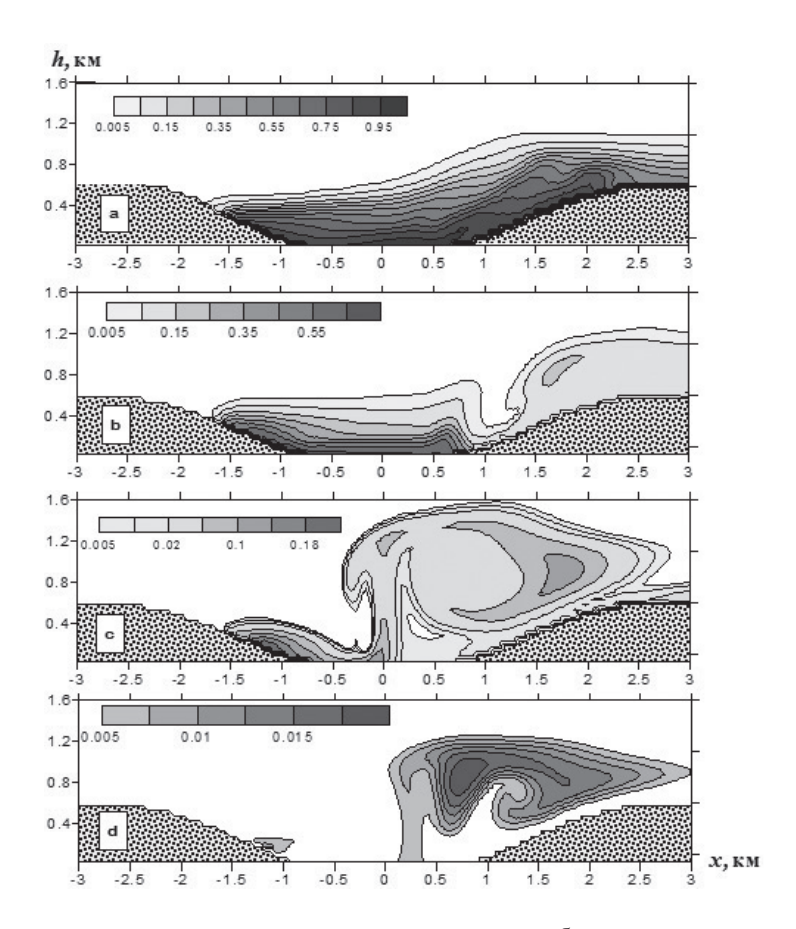
**Рис. 3.** Вихревой поток в каньоне с крутыми бортами. Панели a, b, c, d и е соответствуют моментам времени 1; 1,5; 2; 2,5 и 3 часа

на формируется вихрь (рис. 3, a), который смещается к левому борту (рис. 3, b, c), отражается от него (рис. 3, d), в результате чего у левого борта формируются два противоположно направленных вихря (рис. 3, e). При этом следует отметить, что на масштабе времени в несколько часов выход на стационар также не наблюдается.

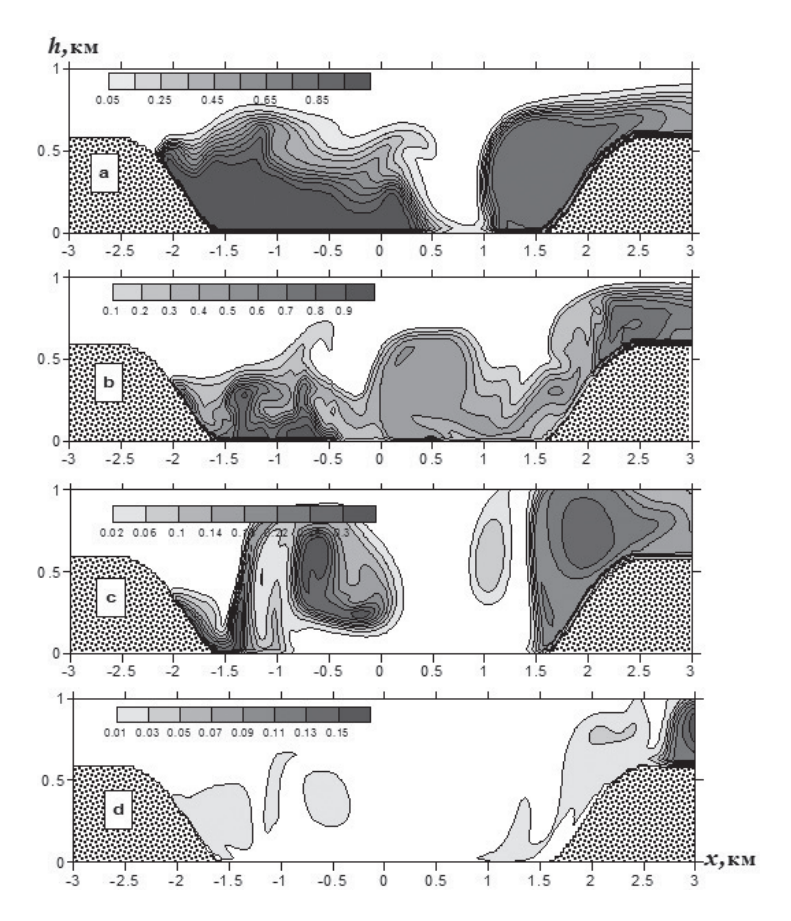
Таким образом, взаимодействие ветрового потока с областью внутри каньона в рамках рассматриваемой задачи характеризуется развитием сложного вихревого течения во внутренней области каньона и на рассмотренных масштабах времени течение непрерывно меняется.

### Динамика насыщающих каньон пылевых включений

Известно, что концентрация пыли оказывает существенное влияние на напряженность электрического поля в приповерхностной атмосфере [Адушкин, Соловьев, 1994]. По этой причине в условиях задачи, рассмотренной в предыдущем параграфе, была исследована динамика развития пылевого облака при выдувании ветром насыщенного пылью воздуха из каньона. Здесь также уместно отметить,



**Рис. 4.** Распределение концентрации пыли в каньоне с пологими бортами в различные моменты времени. Панели a, b, c и d соответствуют моментам времени 1; 1,5; 2; 2,5 и 3, часа



**Рис. 5.** Распределение концентрации пыли в каньоне с крутыми бортами в различные моменты времени.

Панели a, b, c и d соответствуют моментам времени 1; 1,5; 2; 2,5 и 3 часа

что такая задача имеет отношение к задаче проветривания карьеров при открытой разработке полезных ископаемых [Конорев, Нестеренко, 2012]. Пусть в какой-то момент времени обтекаемая ветром полость каньона равномерно заполняется пылью. Будем считать, что время выброса пыли соответствует какому-либо моменту времени, когда взаимодействие ветра с полостью каньона уже не зависит от начальных условий (анализ решения показывает, что для этого достаточно, чтобы время превышало 1 час с момента начала расчета). Концентрацию пыли будем рассматривать в относительных долях от начальной концентрации, которую примем за единицу.

Рассмотрим эволюцию пыли для случая, когда выброс произошел в момент времени t=1 час в каньоне с пологими бортами (рис. 4). Как следует из рис. 4, вначале пыль выносится из верхней части каньона (рис. 4, a, b),а затем в результате развития вертикальной струи в процессе взаимодействия вихрей формируется пылевой фонтан (рис. 4, d, e), который сносится ветром за пределы каньона. Время очистки каньона от пыли в рассматриваемых условиях составляет примерно 2 часа.

Более сложно развивается процесс формирования пылевого облака в случае крутых бортов каньона (рис. 5). Пылевой слой разрывается на две части, каждая из ко-

торых выносится из каньона независимо друг от друга. Однако и в этом случае время очистки каньона от пыли примерно 2 часа.

#### Заключение

Результаты численного моделирования свидетельствуют о том, что взаимодействие воздушных потоков с орографическими неоднородностями, характеризующимися пониженным рельефом, приводит к возникновению и взаимодействию интенсивных вихрей внутри полости, а также формированию области завихренного потока в приповерхностной зоне. При этом процесс характеризуется возникновением повторяющихся структур и существенно не стационарен (за достаточно продолжительное время расчета достичь стационарного режима не удалось).

Характер течения, развивающийся в полости неоднородности, определяет поведение мелкодисперсной пыли, если пыль в силу каких-либо естественных или искусственно созданных причин в какой-то момент времени заполняет орографическую неоднородность. Подхватываясь вихрями, пыль постепенно удаляется из каньона, и время очищения каньона при выбранных начальных данных достигает примерно двух часов. Отметим, что, если бы каньона не было и пыль была бы сосредоточена у поверхности, то за 2 часа при скорости ветра 10 м/с пыль была бы перенесена на расстояние примерно 70 км от места начальной локализации, где отмечались бы вариации электрического поля.

## Литература

Адушкин В.В., Спивак А.А. Физические поля в приповерхностной геофизике. М.:  $\Gamma EOC$ , 2014. 360 с.

Адушкин В.В., Соловьев С.П. О методе расчета пылевого загрязнения атмосферы по измерениям напряженности электрического поля // Физико-технические проблемы разработки полезных ископаемых. 1994. № 4. С. 80–88.

Конорев М.М., Нестеренко Г.Ф. Оценка состояния и перспективы применения систем вентиляции и пылегазоподавления на карьерах // Физико-технические проблемы разработки полезных ископаемых. 2012. № 2. С. 113–120.

*Локтев Д.Н., Спивак А.А.* Синхронизм вариаций геофизических полей в приповерхностной зоне Земли / Триггерные эффекты в геосистемах: материалы Ш Всероссийской конференции, Москва, 16-19 июня 2015 г. М.: ГЕОС, 2015 (в печати).

*Хазинс В.М.* Метод крупных вихрей в задачах всплытия высокотемпературных термиков в стратифицированной атмосфере // Теплофизика высоких температур. 2010. Т. 48. № 3. С. 424–432.

*Хазинс В.М., Шувалов В.В.* Моделирование пылевых потоков в тропосфере // Динамика физических полей Земли. М.: Светоч Плюс. 2011. С. 237–249.

*Хазинс В.М.* Моделирование медленных турбулентных течений в атмосфере, инициированных литосферными источниками возмущений // Физика Земли. 2012. № 3. С. 93–100.